

## การพัฒนาระบบตรวจจับอุบัติการณ์อัตโนมัตินทางพิเศษภายใต้สภาพจราจรหนาแน่น Development of Expressway Automatic Incident Detection System under Heavy Traffic Volume Condition

ชาญเวทย์ หริพ่าย<sup>1</sup>, อานุพล กฤชดาภิมิตร<sup>2</sup>, สุรเชษฐ์ ประวีณวงศ์วุฒิ<sup>3</sup> และ ศักดิ์ดา พรรณไวย<sup>4</sup>

<sup>1, 2, 3, 4</sup> กองวิจัยและพัฒนาวิศวกรรมระบบทางพิเศษ การทางพิเศษแห่งประเทศไทย จตุจักร กรุงเทพมหานคร 10900

E-mail: <sup>1</sup> charnwet.har@gmail.com, <sup>2</sup> anupon.kit@gmail.com, <sup>3</sup> surachet\_pra@exat.co.th, <sup>4</sup> sakda@exat.co.th

### บทคัดย่อ

การเกิดอุบัติเหตุในแต่ละครั้งบนทางพิเศษ (ทางด่วน) หากไม่มีการแจ้งเตือนให้ผู้ขับขี่และเจ้าหน้าที่ภัยได้รับทราบอย่างรวดเร็ว อาจส่งผลกระเทขายประสิทธิภาพซึ่งอาจก่อให้เกิดความสูญเสียมากยิ่งขึ้น เช่น การเกิดอุบัติเหตุซึ่งข้อน การจราจรติดขัดสะสม และความล่าช้าในการเข้าช่วยผู้บาดเจ็บ การทางพิเศษแห่งประเทศไทย (กพ.) ตระหนักถึงความสำคัญในการลดความสูญเสีย จึงได้ริเริ่มทดสอบและพัฒนาระบบตรวจจับอุบัติการณ์แบบอัตโนมัติโดยนำข้อมูลจากกล้องตรวจจับสภาพจราจรแบบประมวลผลภาพ (Image Processing Detection System: IDS) ซึ่งประกอบด้วย ความเร็ว อัตราการไฟล และการครอบครองผู้จราจร มาพัฒนาระบบตรวจจับอุบัติการณ์ฯ บทความนี้ได้นำเสนอการพัฒนาระบบตรวจจับอุบัติการณ์อัตโนมัติ โดยใช้ข้อมูลจากกล้องตรวจจับสภาพจราจรซึ่งการศึกษาในครั้งนี้จะมุ่งเน้นการพัฒนาอัลกอริทึมภายใต้สภาพจราจรหนาแน่น บนทางพิเศษกาญจนบุรี ซึ่งเป็นทางพิเศษในความรับผิดชอบของการทางพิเศษแห่งประเทศไทย (กพ.) และวิเคราะห์ของตรวจจับสภาพจราจรแบบประมวลผลภาพพิเศษตั้งไว้อยู่แล้วเพื่อใช้ในต้นแบบ โดยการพัฒนาอัลกอริทึมในการศึกษาข้อมูลจากกล้องตรวจจับสภาพจราจรในรัฐ California Algorithm และ McMaster Algorithm ซึ่งมีตัวแปรที่บ่งบอกถึงประสิทธิภาพ อันได้แก่ อัตราการตรวจจับ (Detection Rate: DR) เวลาที่ใช้ในการตรวจจับ (Time to Detect: TTD) และอัตราการแจ้งเตือนผิดพลาด (False Alarm Rate: FAR) จากการทดสอบบนตรวจจับอุบัติการณ์ฯ ที่พัฒนาขึ้น พบว่า อัตราการตรวจจับมีค่าระหว่าง 87.5-100 เปอร์เซ็นต์ เวลาที่ใช้ในการตรวจจับมีค่าระหว่าง 6.5-16 นาที (เนื่องจากกล้องตรวจจับสภาพจราจรอยู่ห่างกันมาก) และอัตราการแจ้งเตือนผิดพลาดมีค่าระหว่าง 0.0-1.0 เปอร์เซ็นต์ ซึ่งผลจากการพัฒนาระบบการแจ้งเตือนแบบอัตโนมัติสามารถแจ้งเตือนได้เร็วกว่าการตรวจสอบของพนักงานประมาณ 1-2 นาที นอกจากนี้ยังสามารถระบุตำแหน่งของการเกิดอุบัติเหตุได้อย่างถูกต้องและมีประสิทธิภาพ

**คำสำคัญ:** ระบบตรวจจับอุบัติการณ์, อัตราการตรวจจับ, เวลาที่ใช้ในการตรวจจับ, อัตราการแจ้งเตือนผิดพลาด

### Abstract

For each of incident on an expressway, if there is no information to other drivers and to the rescue team on a timely manner, the incident could affect many aspects of which may cause loss even more. Examples include secondary incidents, accumulated traffic congestion, and delays in the rescue of the wounded. The Expressway Authority of Thailand (EXAT) realized in the importance of reducing loss, therefore, initiated an effort to research and

development of automatic incident detection (AID) algorithm using traffic sensor data, which include speed, flow, and occupancy from the Image Processing Detection System (IDS). This paper presents the development of an AID algorithm using real traffic sensor data. The focus of this study is to develop an AID algorithm under heavy traffic volume condition on an expressway. Karnchanaburi Expressway, one of expressways operated by EXAT, was chosen because traffic sensors were already installed for other purposes. The AID algorithm developed in this study is based on California and McMaster algorithms. The performance indicators of the AID algorithm are detection rate (DR), time to detect (TTD) and false alarm rate (FAR). The test results indicate DR within the range of 87.5-100 percent, TTD within the range of 6.5-16 minutes (given that traffic sensors are quite far apart), and FAR within the range of 0.0-1.0 percent. The proposed AID algorithm is able to detect incidents more quickly than traffic control officers, around 1 to 2 minutes. Moreover, it is able to identify locations of incidents accurately and efficiently.

**Keywords:** accident detection system, detection rate, time of detection, false alarm rate.

### 1. คำนำ

อุบัติเหตุที่เกิดขึ้นบนทางพิเศษในช่วงเวลา 5 ปี ย้อนหลังที่ผ่านมา โดยเฉลี่ยเกิดขึ้นประมาณ 1,200 ครั้งต่อปี และสถิติของการเกิดรถเสียบนทางพิเศษในช่วงเวลา 5 ปี ย้อนหลังที่ผ่านมา พบร่วมปีประมาณ 28,000 รายต่อปี ทั้งอุบัติเหตุและรถขัดข้องบนทางพิเศษรวมเรียกว่าอุบัติการณ์นั้น เมื่อเกิดขึ้นในแต่ละครั้ง หากไม่มีการแจ้งเตือนให้ผู้ขับขี่รับทราบถึงสภาพการจราจรได้อย่างรวดเร็ว อาจส่งผลกระทบอย่างรุนแรง เช่น การเกิดอุบัติเหตุซ้ำซ้อน ความปลอดภัยในการใช้เส้นทางลดลง ใช้เวลาการเดินทางเพิ่มมากขึ้น เกิดมลภาวะทางอากาศจากการจราจรติดขัด และสิ้นเปลืองเชื้อเพลิงมากขึ้น

ในหลาย ๆ ประเทศได้พัฒนาระบบตรวจจับอุบัติการณ์แบบอัตโนมัติขึ้น เพื่อตรวจจับอุบัติการณ์บนทางพิเศษและแจ้งเตือนไปยังผู้ขับขี่รวมไปถึงหน่วยภัย เพื่อให้รับทราบการเกิดอุบัติการณ์ได้รวดเร็ว และใช้เป็นข้อมูลในการตัดสินใจเบลี่ยนสีทาง หรือเพิ่มความระมัดระวังก่อนถึงจุดเกิดอุบัติการณ์นั้น โดยแจ้งเตือนผ่านทางป้ายข้อความปรับเปลี่ยนได้ (Variable Message Sign: VMS) เวปไซต์ โทรศัพท์เคลื่อนที่ และอุปกรณ์นำทาง (Navigator) เป็นต้น นอกจากนี้ระบบตรวจจับอุบัติการณ์อัตโนมัติยังช่วยเพิ่มประสิทธิภาพการบริหารจัดการจราจรกรณีเกิดอุบัติการณ์ เช่น การจำกัดจำนวนรถที่通行ชั้น-ลงการจำกัดการใช้ความเร็ว รวมไปถึงการลดเวลาในการเข้าช่วยเหลือผู้บาดเจ็บของหน่วยภัยเมื่อผู้ขับขี่สามารถ

แผนการเดินทางหรือเปลี่ยนเส้นทางเพื่อหลบเลี่ยงเส้นทางที่มีอุบัติการณ์ จะสามารถจราจรติดขัดสะสม ลดเวลาและลดค่าใช้จ่ายการเดินทาง รวมไปถึงการลดการใช้พลังงานเชื้อเพลิง นอกจากนั้นผลการวิจัยในต่างประเทศพบว่าเมื่อนำระบบตรวจจับอุบัติการณ์อัตโนมัติมาใช้ จะสามารถลดการเกิดอุบัติการณ์ชั้นโดยรวมถึง 28% อย่างไรก็ตามระบบดังกล่าวจะต้องมีการพัฒนา Algorithm เพื่อปรับเปลี่ยนให้เหมาะสมกับสภาพจราจร แต่ละสายทางจึงจะส่งผลให้เกิดประสิทธิภาพสูงสุด

## 2. บทหวานรรณกรรมและทฤษฎีที่เกี่ยวข้อง

การพัฒนาระบบตรวจจับอุบัติการณ์จะอาศัยข้อมูล 2 ส่วน คือ การเก็บรวบรวมข้อมูล และการพัฒนา Data Mining โดยเก็บสำรวจข้อมูลการจราจร ได้แก่ ความเร็ว อัตราการไฟล และการครอบครองผู้จราจร เป็นต้น ที่ได้จากอุปกรณ์ตรวจจับสภาพจราจร ในการศึกษาจะใช้ข้อมูลจราจรจากกล้อง IDS ที่ติดตั้งบนทางพิเศษกาญจนวนิชฯ ซึ่งจะสามารถเก็บข้อมูลความเร็ว จำนวนยานพาหนะ, ประเภท (หรือความยาว)

จากลักษณะตำแหน่งการติดตั้งอุปกรณ์ตรวจจับสภาพจราจรที่ กทพ. ติดตั้งในปัจจุบันมีระยะห่างระหว่างอุปกรณ์ค่อนข้างมากจึงส่งผล กระบวนการต่อการพัฒนาระบบตรวจจับอุบัติการณ์ให้มีประสิทธิภาพ และความน่าเชื่อถือมีความซับซ้อนเพิ่มขึ้น โดยในบทววนี้จะเน้น การศึกษาเฉพาะการพัฒนาระบบตรวจจับอุบัติการณ์ภายใต้สภาพจราจร หนาแน่น ซึ่ง Algorithm ระบบตรวจจับอุบัติการณ์ในปัจจุบัน มักพัฒนา เพื่อตรวจจับอุบัติการณ์ภายใต้สภาพจราจรหนาแน่น ในทางวิศวกรรม จราจรได้แบ่งเป็นระดับการให้บริการ Level of Service (LOS) เป็นระดับ C, D, E, F จากสภาพจราจรคลื่อนตัวได้ไปในลักษณะสภาพจราจร ติดขัด Algorithm ที่พัฒนาจะอาศัยสมมติฐานของค่าตัวแปรของกระแส จราจร ได้แก่ ระยะเวลาการเดินทาง, อัตราการไฟล, และความล่าช้า ซึ่ง หากพบว่ามีความเปลี่ยนแปลงอย่างสูงและกะทันหันแสดงว่าอาจมี อุบัติการณ์เกิดขึ้น ซึ่งจากการบทวนงานวิจัย พบว่า Algorithm ตรวจจับ อุบัติการณ์ภายใต้สภาพจราจรหนาแน่นนี้สามารถแบ่งได้เป็น 6 กลุ่ม ได้แก่ 1) Comparative Algorithm 2) Statistical Algorithm 3) Smoothing and Filtering Algorithm 4) Traffic Modeling Algorithm 5) AI Algorithm 6) Image Processing Algorithm จากการพิจารณา ความเหมาะสมและข้อมูลสำหรับใช้พัฒนาระบบตรวจจับอุบัติการณ์ได้ สภาพจราจรติดขัด จึงเลือกใช้ทฤษฎี California Algorithms ซึ่งจัดอยู่ใน ประเภท Comparative Algorithm และทฤษฎี McMaster Algorithm ซึ่งจัดอยู่ในประเภท Traffic Modeling Algorithm มาใช้ในการศึกษานี้

### 2.1 California Algorithm

California Algorithm [1] หรือเรียกว่าก็อชื่อหนึ่งว่า Traffic Services Corporation (TSC) Algorithm 2 เป็น Algorithm ที่คิดคันเป็นอันดับ แรก ๆ และนิยมใช้กันอย่างแพร่หลาย โดยใช้เฉพาะตามศูนย์จัดการ จราจรเมืองใหญ่ๆ ในประเทศไทยเช่นกรุงเทพฯ [2] และนำไปใช้ เปรียบเทียบประสิทธิภาพกับ Algorithm ที่คิดคันขึ้นใหม่อยู่เสมอ [3] โครงสร้าง Decision Tree ของ California Algorithm แสดงดังรูปที่ 1 โดยหลักการทำงานของ California Algorithm ใช้ตัวแปร 3 ตัว ในการ แยกลักษณะสภาพจราจรที่เก็บข้อมูลจาก loop detector หรือ กล้อง Image Processing มาคำนวณหาค่า occupancy ที่จุดต้นน้ำ (Upstream) และจุดปลายน้ำ (Downstream) โดยคำนวณได้จากสมการที่ (1) (2) และ (3)

$$docc_i(t) = o_i(t) - o_{i+1}(t) \quad (1)$$

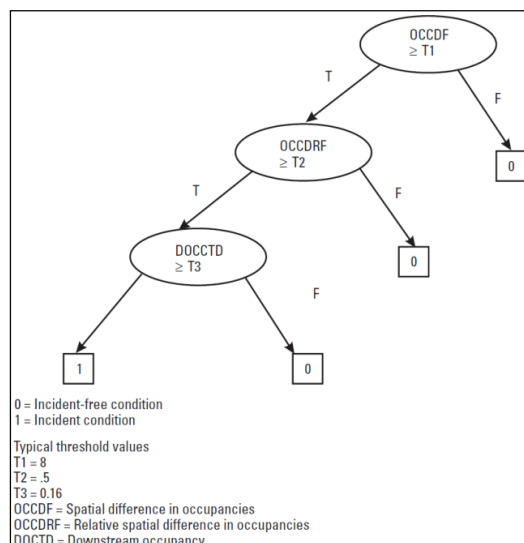
$$drocc_i(t) = \frac{o_i(t) - o_{i+1}(t)}{o_i(t)} \quad (2)$$

$$drtocc_i(t) = \frac{o_{i+1}(t-d) - o_{i+1}(t)}{o_{i+1}(t-d)} \quad (3)$$

โดยที่

$o_i(t)$  คือ Occupancy ที่สถานี  $i$  ณ เวลา  $t$

$i$  คือ จุดต้นทาง (Upstream)



รูปที่ 1 โครงสร้าง Decision Tree ของ California Algorithm [4]

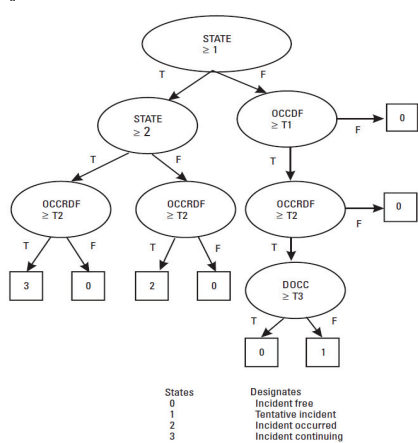
ขั้นตอนการทำงานของ California Algorithm มีขั้นตอนดังนี้

- 1) ระบบจะเริ่มคำนวณ  $docc_i(t)$  หมายถึง ค่าความแตกต่างของ Occupancy ระหว่างจุดต้นน้ำและจุดปลายน้ำ ต้องมีค่าไม่เกิน  $\theta_1$  หากเกินแสดงว่าอาจมีอุบัติการณ์เกิดขึ้นระหว่างจุดต้นน้ำและจุดปลายน้ำ Algorithm จะส่งตัวชี้วัดเพื่อคำนวณในขั้นตอนต่อไป
- 2)  $drocc_i(t)$  คือ สัดส่วนความแตกต่างของ Occupancy ระหว่าง จุดต้นน้ำและจุดปลายน้ำ และ occupancy ที่จุดต้นน้ำจะต้องมีค่าไม่เกิน  $\theta_2$  หากเกินกว่าแสดงว่าอาจจะมีอุบัติการณ์เกิดขึ้นระหว่างจุดต้นน้ำกับจุดปลายน้ำ Algorithm จะส่งตัวชี้วัดเพื่อคำนวณในขั้นตอนต่อไป
- 3)  $drtocc_i(t)$  คือสัดส่วนระหว่างความแตกต่างของ Occupancy ที่ จุดต้นน้ำ ณ เวลา  $t$  และ  $t - d$  และ Occupancy ที่จุดปลายน้ำ ณ เวลา  $t - d$  ซึ่งจะต้องมีค่าไม่เกิน  $\theta_3$  หากเกินกว่า Algorithm จะแจ้งเตือนว่ามีอุบัติการณ์เกิดขึ้นบนทางพิเศษระหว่าง Detector ทั้งสองจุด และส่งตัวชี้วัดไปขั้นตอนที่ 2 อีกครั้ง หากค่าตัวชี้วัดในขั้นตอนที่ 2 ยังเกินกว่า  $\theta_2$  ระบบจะยังแจ้งเตือนผู้ดูแลว่ามี อุบัติการณ์เกิดขึ้นอยู่บนทางพิเศษ หากค่าตัวชี้วัดในขั้นตอนที่ 2 ลดลงมาต่ำกว่า  $\theta_2$  ระบบจะหยุดแจ้งเตือน และสิ้นสุดอุบัติการณ์ใน
- 4) ค่า  $\theta_1$ ,  $\theta_2$  และ  $\theta_3$  ต้องทำการปรับแก้ทุกๆ ช่วงเวลาและสถานะระหว่าง Detector ทั้งสองจุดเนื่องจาก California Algorithm อยู่ในกลุ่ม Comparative Algorithm หรือ Pattern-Based Algorithm [3] ค่า ตัวชี้วัดที่คำนวณได้นำไปเปรียบเทียบกับค่า Threshold ที่ปรับแก้ ซึ่งเป็นค่าเฉพาะของแต่ละช่วงถนนและตามแต่ละพื้นที่

Payne and Tignor [1] ได้นำเสนอ California Algorithm ออกแบบอิฐลายรูปแบบ โดยรูปแบบที่ได้รับความนิยมมากที่สุดได้แก่ TSC Algorithm 7 และ TSC Algorithm 8 [3] โดยแต่ละ Algorithm มีรายละเอียดดังนี้

### 2.1.1 California Algorithm 7

Algorithm 7 ได้เปลี่ยนแปลงตัวชี้วัดที่ 3 จากเดิมใช้สัดส่วนความแตกต่างระหว่าง Occupancy ที่จุดปลายน้ำ ณ เวลา  $t$  และ  $t - d$  และ Occupancy ที่จุดปลายน้ำ ณ เวลา  $t - d$  เพื่อเพิ่มความแตกต่าง Occupancy ที่จุดปลายน้ำ ณ เวลา  $t$  และ  $t - d$  จากการศึกษาของ Payne and Tignor [1] พบร่วมค่า Occupancy ที่จุดปลายน้ำถ้าลดลงมากกว่า 20 เปอร์เซ็นต์อย่างรวดเร็วส่วนใหญ่เป็นสัญญาณบอกให้ทราบว่าเกิดอุบัติการณ์ขึ้นแล้ว นอกจากนี้ Algorithm 7 ยังเพิ่มตัวมีระยะเวลาที่เกิดการเปลี่ยนแปลงด้าน Occupancy ซึ่งต้องมีระยะเวลาช่วงหนึ่งที่ Algorithm สามารถจะแจ้งเตือนว่ามีเหตุการณ์ผิดปกติเกิดขึ้น โครงสร้าง Decision Tree ของ California Algorithm 7 แสดงดังรูปที่ 2



รูปที่ 2 โครงสร้าง Decision Tree สำหรับ California Algorithm 7 [4]

### 2.1.2 California Algorithm 8

Algorithm 8 เป็น Algorithm ที่ได้การยอมรับว่ามีประสิทธิภาพดีที่สุด แต่มีข้อตอนการคำนวณที่ซับซ้อนมากที่สุดเช่นกัน จุดเด่นของ Algorithm 8 คือ การแยกและ Compress Wave ที่เกิดจาก อุบัติการณ์ออกจากสภาพจราจรติดขัดเป็นประจำ (Recurring Congestion) ให้ Algorithm นี้แบ่งสภาพจราจรออกเป็น 9 ระดับ และต้องใส่ค่า Threshold ถึง 5 ค่า จึงแสดงผลลัพธ์โดยโครงสร้าง Decision Tree ของ California Algorithm แสดงดังรูปที่ 3

### 2.2 McMaster Algorithm

McMaster Algorithm อาศัยหลักการจาก Catastrophe Theory มาใช้ในการตรวจจับอุบัติการณ์ หากมีพารามิเตอร์ตัวใดตัวหนึ่งเปลี่ยนแปลงค่าอย่างมากและกะทันหัน ในขณะที่พารามิเตอร์ตัวอื่นคงค่าอยู่ เปลี่ยนแปลงอย่างเพิ่มขึ้นหรือลดลงอย่างช้าๆ Algorithm จะเตือนว่ามีสิ่งผิดปกติบนทางพิเศษ กรณีที่ความเร็วเฉลี่ยลดลงอย่างรวดเร็ว

ในขณะที่ Occupancy และ Flow เปลี่ยนแปลงเพียงเล็กน้อยแสดงว่ามีอุบัติการณ์เกิดขึ้นบนทางพิเศษ ซึ่งหลักการนี้ช่วยให้ Algorithm สามารถแบ่งแยกสภาพปัญหาราจรติดเป็นประจำออกจากปัญหาราจรติดขัดที่เกิดจากอุบัติการณ์ได้ ลักษณะของราจรติดแบบประจำจะมีการเปลี่ยนแปลงของพารามิเตอร์อาทิ เนื่องความเร็ว ลดลงอย่างช้าๆ ในขณะที่อุบัติการณ์บนทางพิเศษ จะส่งผลให้เกิดการเปลี่ยนแปลงความเร็วอย่างรวดเร็วและกะทันหัน นอกจากนี้ McMaster Algorithm มีข้อดีที่สามารถใช้ข้อมูลจาก Loop Detector เพียงแค่จุดเดียว เท่านั้น ที่สามารถตรวจสอบการเกิดอุบัติการณ์ได้ ซึ่งหมายความว่าไม่ต้องนำข้อมูลจากทั้งหมด 3 ตัวแปร ระหว่างการเก็บข้อมูลจะต้องรวมข้อมูลทั้งช่วงที่มีสภาพจราจรแบบปกติและสภาพจราจรขณะเกิดอุบัติการณ์ และนำมาร่วมกับความสัมพันธ์ระหว่าง อัตราการไหล (Flow) กับ Occupancy และความสัมพันธ์ระหว่างความเร็วกับ Occupancy [5] แสดงดังรูปที่ 4

**2.3 การปรับปรุง Algorithm ด้วย Fuzzy set theory**

เนื่องจาก California Algorithm และ McMaster Algorithm มีข้อดีและข้อเสียแตกต่างกันผู้วิจัยจึงนำผลลัพธ์ของทั้งสอง Algorithm มาประยุกต์ใช้รวมกันด้วยวิธี Weighted Fuzzy Logic โดยให้น้ำหนักของผลลัพธ์จาก California Algorithm และ McMaster Algorithm แตกต่างกันขึ้นอยู่กับสถานการณ์ดังนี้

ให้  $w_1$  และ  $w_2$  เป็นน้ำหนัก (Weight) ของผลลัพธ์จาก California Algorithm (CA) และ McMaster Algorithm (MM) ตามลำดับ โดย  $w_1+w_2 = 1$  และ ค่า  $w_i \geq 0$  ( $i = 1, 2$ )

$$WIL = (w_1 * CA) + (w_2 * MM) \text{ หรือ } x = w_1 * CA + (1-w_1) * MM \quad (4)$$

WIL คือ Weighted Incident Likelihood มีค่าอยู่ระหว่างศูนย์ถึงหนึ่ง เมื่อคำนวณค่า WIL ได้แล้ว จะต้องมีเปรียบเทียบกับ Threshold ของแต่ละช่วงถนน

หาก  $WIL > \text{Threshold}$ , Incident Decision = 1 (Incident Case) หาก  $WIL \leq \text{Threshold}$ , Incident Decision = 0 (Non-Incident Case) โดยที่

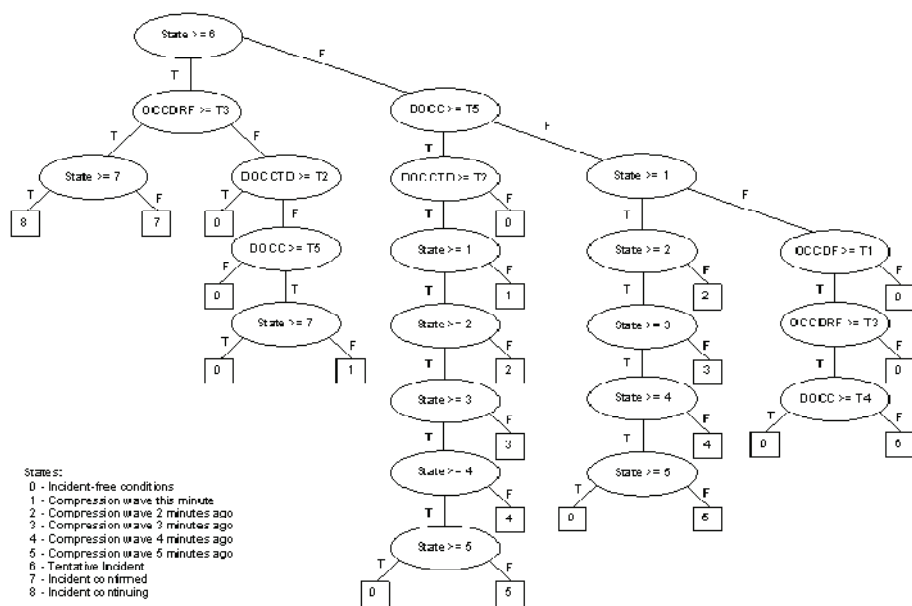
CA คือ  $Di/\text{Max}(Di)$  ที่  $i = \text{time slot } 1, 2, 3, \dots, n$

Di คือ Relative Spatial Occupancy Difference กับสถานี ตรวจวัดตำแหน่ง Downstream มีค่าเท่ากับ  $(\text{OccU-OccD})/\text{OccD} - T3$  หากได้จากขั้นตอนสุดท้ายของ California Algorithm

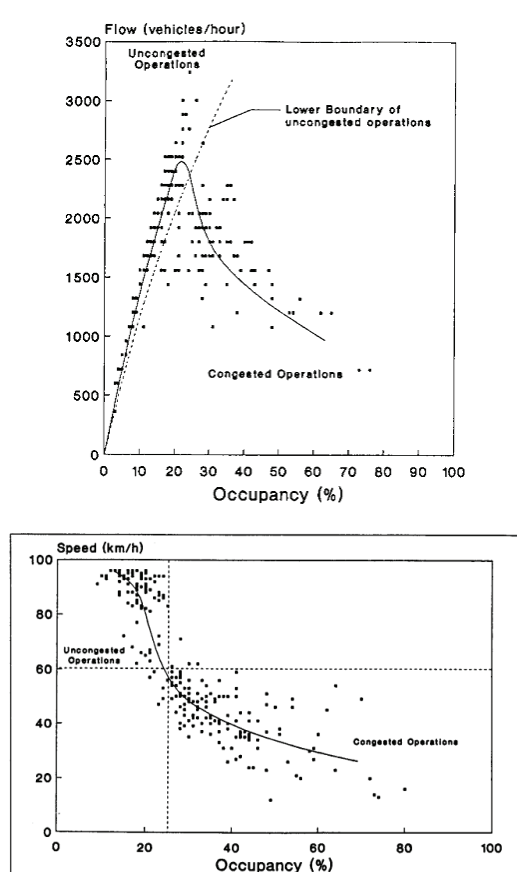
$\text{Max}(Di)$  คือ ค่าสูงสุดของ Di

$w_1$  คือ ค่า weight ของ ตัวแปร CA ที่ได้จาก California Algorithm

$w_2$  คือ ค่า weight ของตัวแปร MM ที่ได้จาก McMaster Algorithm



รูปที่ 3 โครงสร้าง Decision Tree สำหรับ California Algorithm 8 [4]



รูปที่ 4 กราฟ Flow-Occupancy และ Speed-Occupancy สำหรับ McMaster Algorithm [6]

## 2.4 การวัดประสิทธิภาพของ Algorithm

2.4.1 Detection Rate (DR) หมายถึง สัดส่วนของจำนวนครั้งที่ Algorithm สามารถตรวจจับอุบัติการณ์ได้ หารด้วยจำนวนอุบัติการณ์ทั้งหมดที่เกิดขึ้นในช่วงเวลาที่กำหนด ซึ่งค่า DR จะอยู่ระหว่าง 0 และ 1 ค่า DR ที่สูงแสดงว่า Algorithm มีประสิทธิภาพในการตรวจจับสูง

$$DR = \frac{\text{No. of detected incidents}}{\text{Total No. of actual incidents}} \quad (5)$$

False alarm rate (FAR) หมายถึง สัดส่วนของจำนวนช่วงเวลา (Time Slot) ที่ Algorithm แจ้งผิดพลาดว่าเกิดอุบัติการณ์ หารด้วย จำนวนช่วงเวลาทั้งหมดที่ Algorithm ทำการตรวจสอบอุบัติการณ์ ค่า FAR จะอยู่ระหว่าง 0 ถึง 1 ค่า FAR ที่ต่ำแสดงว่า Algorithm มีความแม่นยำสูง เนื่องจากมีความผิดพลาดในการแจ้งอุบัติการณ์ต่ำ

$$FR = \frac{\text{No. of time slots with incidents falsely declared}}{\text{Total No. of time slots}} \quad (6)$$

Mean Time to Detect (MTTD) หมายถึงค่าเฉลี่ยของความแตกต่างทางเวลาที่ Algorithm แจ้งว่าเกิดอุบัติการณ์เมื่อเทียบกับเวลาที่อุบัติการณ์เริ่มเกิดจริง ค่า TTD จะมีค่าตั้งแต่ 0 ไปจนถึง Infinity ค่า TTD ที่ต่ำแสดงว่า Algorithm มีความไวต่ออุบัติการณ์สูง

$$MTTD = \frac{1}{n} \sum_{i=1}^n (t_{\text{detection}}^i - t_{\text{occurrence}}^i) \quad (7)$$

## 3. ขอบเขตการศึกษา

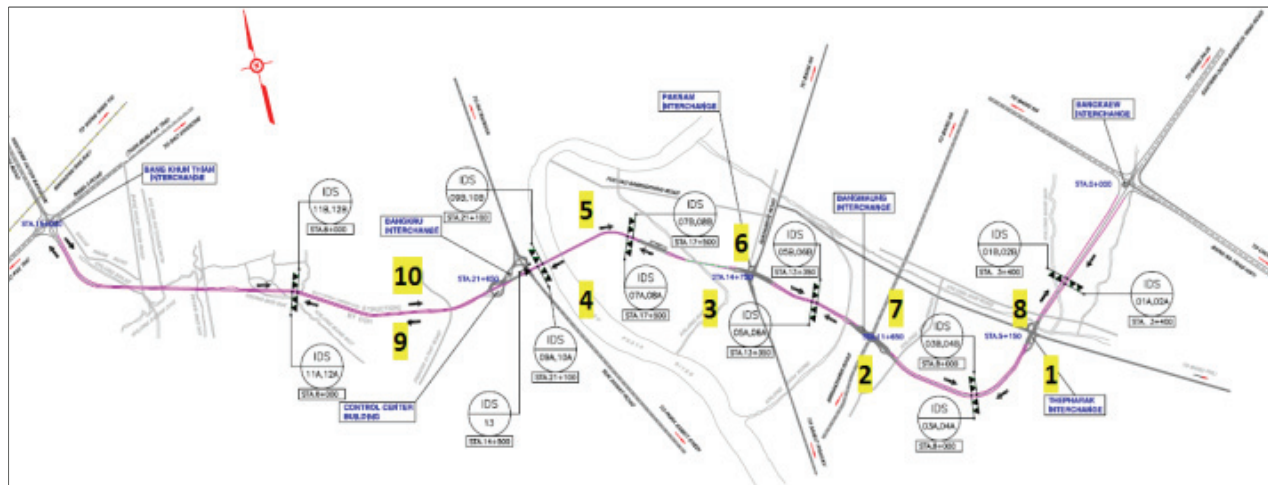
การศึกษาในครั้งนี้ผู้อ่านได้ใช้ข้อมูลสภาพจราจร และข้อมูลการเกิดอุบัติเหตุของทางพิเศษกาญจนภูมิเชก ที่ได้จากการบันทึกของเจ้าหน้าที่กู้ภัยในการเข้าปฏิบัติงาน ณ จุดเกิดเหตุ ซึ่งเป็นทางพิเศษที่อยู่ในความ

รับผิดชอบของ กทพ. ส่วนข้อมูลสภาพจราจรจะนำข้อมูลจากกล้องตรวจสภาพภารจาระ (IDS) ที่ติดตั้งบนทางพิเศษกาญจนวนาภิเษก ดังแสดงในรูปที่ 5 โดยใช้ข้อมูลสภาพจราจรทั้งช่วงที่เกิดอุบัติเหตุและช่วงที่ไม่เกิดอุบัติเหตุ มาพัฒนา Algorithm เพื่อแยกลักษณะการจราจรแบบที่เกิดอุบัติเหตุและไม่เกิดอุบัติเหตุได้

#### 4. การพัฒนาอัลกอริทึมสำหรับกรณีศึกษา: ทางพิเศษกาญจนวนาภิเษก

ทางผู้วิจัยได้นำมา Algorithm ที่แตกต่างกันสองรูปแบบ ได้แก่ California Algorithm และ McMaster Algorithm เนื่องจาก California Algorithm เป็น Algorithm ที่ถูกใช้กันอย่างแพร่หลายเข้าใจง่าย จึงทำให้

การ calibrate ค่า thresholds สามารถทำการพัฒนาได้เรียบ อย่างไรก็ตาม California Algorithm เป็น Algorithm ที่ต้องการข้อมูลจราจรจากจุด Upstream และ Downstream ของอุบัติการณ์ ซึ่งทางพิเศษกาญจนวนาภิเษกมีข้อจำกัดคือจุดตรวจจราจรอยู่ห่างกันมาก จึงอาจทำให้ค่า Mean Time To Detect สูงและอาจทำให้ Detection Rate ต่ำด้วยดังนั้นทางผู้วิจัยจึงได้นำมา McMaster Algorithm มาช่วยในการตรวจจับอุบัติการณ์อีกทางหนึ่ง ข้อดีของ McMaster Algorithm คือ เป็น Algorithm ที่ดูค่า Traffic Parameters ที่สถานีตรวจจับเดียวเป็นหลัก โดยอาศัยข้อมูลจาก Downstream Detector น้อยกว่า California Algorithm เมื่อได้ผลลัพธ์จากทั้งสองวิธีแล้ว ทางผู้วิจัยได้ใช้หลักการ Fuzzy Logic เพื่อใช้ในการรวมผลลัพธ์ทั้งสองและแสดงผลออกมาเป็นผลลัพธ์สุดท้าย ซึ่งมีรายละเอียดในส่วนต่างๆ ดังนี้



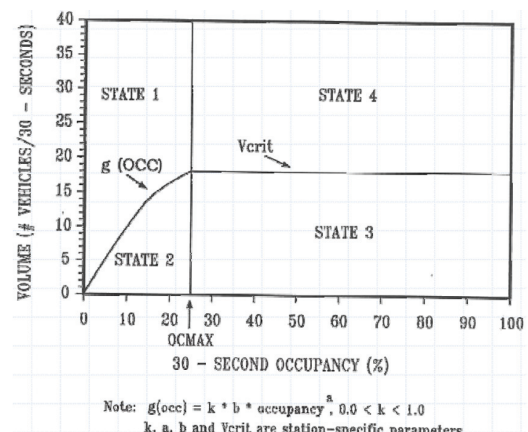
รูปที่ 5 ตำแหน่งกล้องเก็บข้อมูลสภาพจราจรบนทางพิเศษกาญจนวนาภิเษก

#### 4.1 การพัฒนาบนพื้นฐานของ McMaster Algorithm

McMaster Algorithm เป็นการนำ Catastrophe Theory มาประยุกต์ใช้ในการคาดการณ์อุบัติการณ์ โดยดูการเปลี่ยนแปลงของ Traffic State จากพื้นที่ (Region) เคลื่อนที่ไปยังอีกพื้นที่หนึ่ง รูปที่ 6 แสดงตัวอย่างการแบ่งพื้นที่ตาม Traffic State โดยตาม Catastrophe Theory จะแบ่ง Traffic State ออกเป็น 4 พื้นที่ เมื่อทราบ Traffic State ณ เวลาปัจจุบันของตำแหน่ง Upstream แล้ว McMaster Algorithm จะทำการตรวจสอบตามขั้นตอนในรูปที่ 7 ทั้งนี้ McMaster Algorithm จะแจ้งว่าเป็นอุบัติการณ์ ต่อเมื่อ Traffic State ณ ตำแหน่ง Upstream เป็น 2 หรือ 3 และตำแหน่ง Downstream นั้น มี Traffic State เป็น 1 หรือ 2 ซึ่งสามารถอธิบายได้ด้วยตารางที่ 1

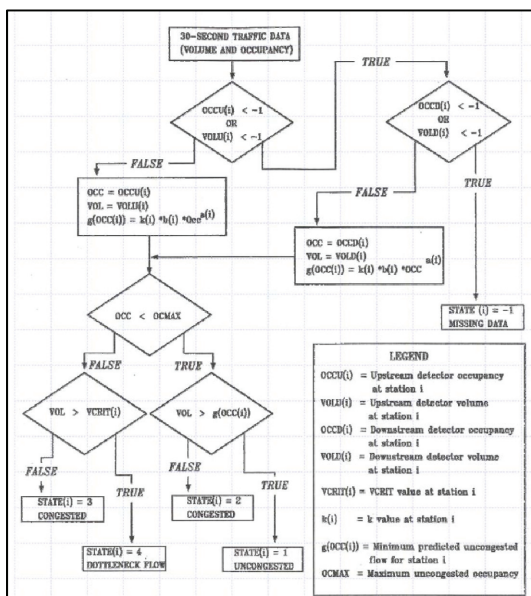
สำหรับการหาค่าพารามิเตอร์ OCMAX,  $g(OCC)$ ,  $V_{crit}$  เพื่อใช้ใน McMaster Algorithm นั้นสามารถหาได้จากการ Plot Volume vs. Occupancy ดังแสดงในรูปที่ 8 ซึ่งเป็นข้อมูล Volume และ Occupancy ทุก ๆ 1 นาที ที่จุดตรวจจราจร 3A/4A (STA 8+000) ในช่วงระยะเวลา 5 เดือน มีจำนวนอุบัติการณ์แบบการจราจรหนาแน่นเกิดขึ้นจำนวน 8 ครั้ง การหาเส้นแนวตั้ง  $g(OCC)$  และ  $V_{crit}$  ทำได้โดยการ Plot ข้อมูล Volume และ Occupancy ของช่วงสภาพจราจรที่ไม่มีอุบัติการณ์ (Non-Incident Traffic) ซึ่งใช้สัญลักษณ์วงกลมสีน้ำเงินในที่นี้ และในช่วง

สภาพจราจรที่มีอุบัติการณ์ (Incident Traffic) ซึ่งใช้สัญลักษณ์กาบทสีแดง ทางผู้วิจัยได้ทำการแบ่ง Traffic State ออกเป็น 4 ส่วนโดยกำหนดให้



รูปที่ 6 แผนภาพ Flow vs. Occupancy และการแบ่งพื้นที่ตาม Traffic State [7]

$OCMAX = 25\%$ ,  $Vcrit = 30 \text{ vehicles/minutes}$ , และ  $(OCC) = 1.2 * OCC$  และพบว่าสภาพจราจรส่วนใหญ่ในช่วงเวลาปกติ บนช่วงทางพิเศษ สถานีตรวจวัด 03A/04A นั้นจะอยู่ใน Traffic State 1 (สีน้ำเงิน) ส่วนข้อมูลจราจรในช่วงเกิดอุบัติการณ์นั้นจะอยู่ในพื้นที่ Traffic State 3 (กากบาทสีแดง) และในช่วงนี้มักจะไม่เกิด bottleneck flow สังเกตเห็นได้จากการที่ไม่มีข้อมูลจราจรอยู่ในพื้นที่ Traffic State 4 นอกจากนี้ยังไม่ค่อยพบสภาพจราจรแบบ Traffic State 2 ซึ่งหมายความว่า



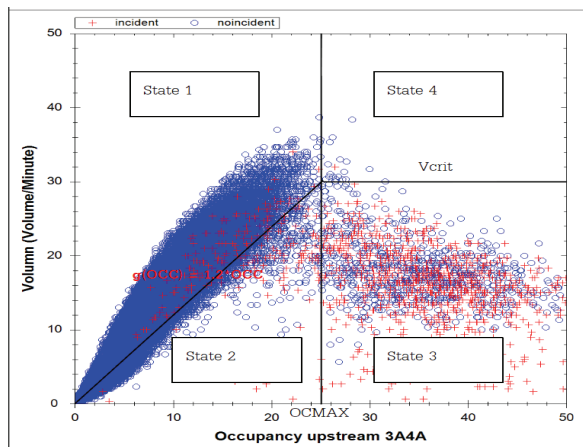
รูปที่ 7 แผนภาพขั้นตอนการตรวจสอบการเกิดอุบัติเหตุตามทฤษฎีของ McMaster algorithm [7]

ตารางที่ 1 แสดงความสัมพันธ์ของสภาพจราจรต้นน้ำและปลายน้ำ

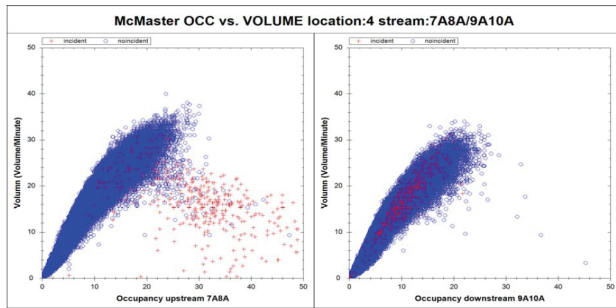
Traffic State at Upstream Station				
Downstream Station	1	2	3	4
1	Uncongested	INCIDENT	INCIDENT	Bottleneck flow
2	Uncongested	INCIDENT	INCIDENT	Bottleneck flow
3	Uncongested	Check downstream i+2	Check downstream i+2	Bottleneck flow
4	Uncongested	Recurrent Congestion	Recurrent Congestion	Bottleneck flow

การจราจรติดขัดแบบ Recurrent Congestion นั้นไม่ค่อยเกิดขึ้นณ บริเวณ Downstream ของสถานีตรวจวัด 03A/04A จากการเปรียบเทียบจะพบว่า หากสภาพจราจรณ จุดตรวจวัด Upstream เกิดอุบัติการณ์จะถอยู่ใน Traffic State 3 เป็นส่วนใหญ่ และเมื่อพิจารณาข้อมูลจราจรที่ตำแหน่ง Downstream จะพบว่าข้อมูลณ ช่วงเวลาเดียวกันจะย้ายไปอยู่ที่ Traffic State 2 ซึ่งตรงตามทฤษฎีของ McMaster Algorithm ที่จะแจ้งเตือนอุบัติการณ์หาก Traffic State ที่ตำแหน่ง Upstream อยู่ที่พื้นที่ 3 และย้ายไปพื้นที่ 2 เมื่อพิจารณาข้อมูลที่จุดตรวจวัด Downstream ดังนั้นจึงสรุปได้ว่าสำหรับลักษณะการจราจรที่ก่อให้เกิดการจราจรติดขัดบนทางพิเศษภูมิภาคในส่วนใหญ่จะเป็นรูปแบบ Traffic State 3 ไปยัง 2 สภาพจราจรที่

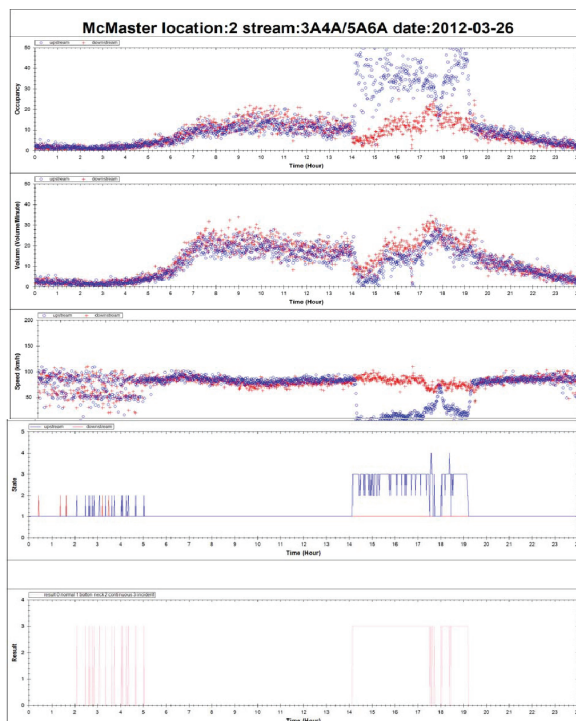
น่าสนใจอีกช่วงหนึ่งได้แก่ช่วงที่ 4 (หรือช่วงระหว่างกล้อง 07A/08A-09A/10A) ซึ่งในการวิเคราะห์แบบ California Algorithm นั้นพบว่าทำการตรวจสอบได้ค่อนข้างน้อย กล่าวว่าได้ค่า DR เพียง 14 เปอร์เซ็นต์เท่านั้น หรือ เพียง 1 ใน 7 กรณีอุบัติการณ์ แต่เมื่อทำการสร้าง Volume vs. Occupancy Plot ดังรูปที่ 11 แล้วพบว่ากิจกรรมเคลื่อนที่ของ Volume-Occupancy จาก Traffic State 3 ไปยัง 2 อย่างเห็นได้ชัด



รูปที่ 8 Volume vs. Occupancy Plot ทุก 1 นาที



รูปที่ 9 Volume vs. Occupancy Plot ณ ตำแหน่ง Upstream (03A/04A) และ Downstream (05A/06A)



รูปที่ 10 ตัวอย่างผลการตรวจจับอุบัติการณ์ของ McMaster Algorithm ในช่วงที่ 2 หรือระหว่างสถานีตรวจจัด 03A/04A และ 05A/06A จึงเชื่อได้ว่า McMaster Algorithm น่าจะมี Performance ที่ดีกว่า California Algorithm ในช่วงที่ 4 เมื่อเทียบกับ OCMAX, VCRIT, และ  $\sigma$ (OCC) ของแต่ละช่วงทางพิเศษแล้ว จะสามารถนำมาระบุขอุบัติการณ์บนทางพิเศษได้ดังรูปที่ 10 ซึ่งแสดงตัวอย่างผลการตรวจจับอุบัติการณ์ของ McMaster Algorithm ในช่วงที่ 2 หรือระหว่างสถานีตรวจจัด 03A/04A และ 05A/06A ประกอบไปด้วยข้อมูล Occupancy, Volume, Speed ที่ดำเนินไป Upstream(03A/04A) และดำเนินไป 05A/06A ของวันที่ 26 มีนาคม 2555 เป็นเวลา 24 ชั่วโมงเมื่อเลือกค่า OCMAX, VCRIT, และ  $\sigma$ (OCC) ของแต่ละช่วงทางพิเศษ จะได้ผลของการพัฒนา McMaster Algorithm บนทางพิเศษสายภูมิภาคเชียงใหม่ 10 ช่วง ซึ่งสามารถสรุปได้ดังตารางที่ 2 ตารางนี้เป็นการวัด Performance โดยรวมของ Algorithm ซึ่งโดยภาพรวมนั้น อยู่ในเกณฑ์ดี โดยค่า DR อยู่ระหว่าง 80% และ 100% ค่า FAR อยู่ระหว่าง 0.2% และ 1.4% และค่า Median TTD อยู่ระหว่าง 6 นาทีและ 27.5 นาที

ค่า DR นั้นจะอยู่ในเกณฑ์ที่ยอมรับได้ กล่าวคือมีค่าไม่ต่ำกว่า 80 เปอร์เซ็นต์ และค่า FAR มีค่าสูงสุดอยู่ที่ 1.4% หมายความว่า ในเวลา 1,000 นาที (ประมาณ 16.7 ชั่วโมง) จะเกิดการแจ้งเตือนที่ผิดพลาด (False Alarm) ขึ้น 14 ครั้ง หรือเฉลี่ยน้อยกว่า 1 ครั้ง ใน 1 ชั่วโมง ซึ่งถือว่าอยู่ในเกณฑ์ที่ยอมรับได้ อย่างไรก็ตาม ค่า TTD ส่วนใหญ่จะเกินค่าที่ยอมรับได้ในทางปฏิบัติ ซึ่งจะอยู่ที่ประมาณ 5 นาที ซึ่งเกิดจากข้อจำกัดของความท่องของสถานีตรวจจัด การเปลี่ยนข้อมูลทุก 1 นาที (โดยทั่วไปจะใช้การเปลี่ยนทุกช่วง 20 ถึง 30 วินาที) และยังอาจเกิดจากปริมาณข้อมูลอุบัติการณ์บนทางพิเศษยังน้อยอยู่ ซึ่งบางช่วงจะมีเพียง 1 ถึง 2 อุบัติการณ์เท่านั้น ถึงแม้ว่า Performance ของ McMaster จะดีกว่า California Algorithm ในหลาย ๆ ช่วงทางพิเศษ แต่ TTD ที่ได้ยังคงข้างสูง เกินไปในทางปฏิบัติ ทางผู้วิจัยได้มีแนวคิดในการปรับปรุง Performance ของ Automatic Incident Detection Algorithm

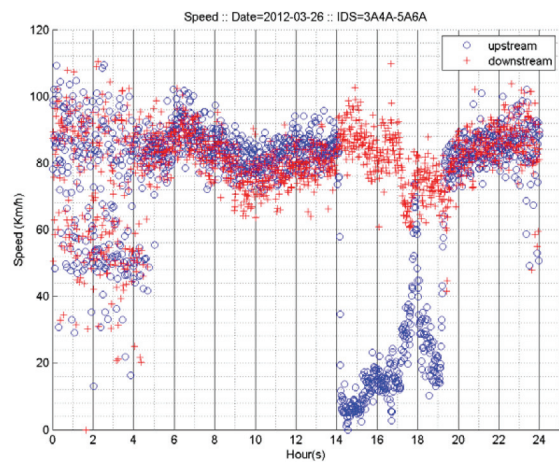
จากข้อมูลจากราชที่มีอยู่ และข้อจำกัดต่าง ๆ ที่ได้กล่าวมาข้างต้น ด้วยการนำผลจาก California Algorithm และ McMaster Algorithm มาใช้ในการตัดสินร่วมกันว่าจะมีความเป็นไปได้ในการเกิดอุบัติเหตุมากน้อยเพียงใดซึ่งได้กล่าวไว้หัวข้อต่อไป

ตารางที่ 2 สรุปค่า Thresholds และผลการวัด Performance (DR, FAR, MTTD) ของ California Algorithm ที่ใช้บนทางพิเศษภูมิภาคเชียงใหม่ 10 ช่วง

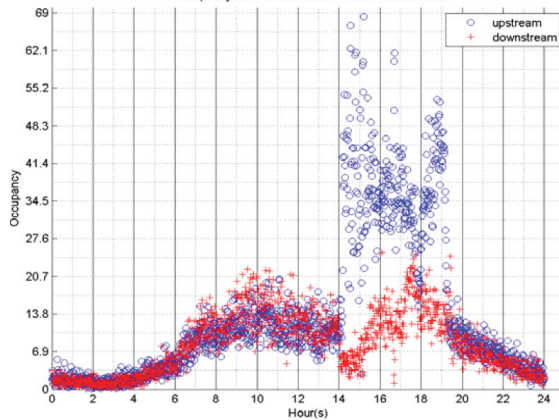
Section	US	DS	T1	T2	T3	No. of Incident Cases	DR	FAR	Median TTD*
1	1A2A	3A4A	-45.8629	-102.7987	5.8606	2	0	0	NA
2	3A4A	5A6A	25.5539	-108.0327	2.9268	8	0.25	0.0004	3.5
3	5A6A	7A8A	-72.4694	-55.5402	4.6376	1	0	0	NA
4	7A8A	9A10A	-27.8764	-76.8056	22.4277	7	0.1429	0	48
5	9B10B	7B9B	22.0961	-37.1209	2.8672	3	0.3333	0.0001	31
6	7B8B	5B6B	-47.6881	-26.4899	13.1426	3	0.3333	0	20
7	5B6B	3B4B	38.3699	-56.2917	7.1281	2	0.5	0	17
8	3B4B	1B2B	20.5834	-46.9809	4.1742	3	1	0.0005	12
9	9A10A	11A12A	-73.5532	-35.7663	4.876	2	0.5	0	2
10	11B12B	9B10B	15.1123	-60.4259	0.85741	5	1	0.0009	8

#### 4.2 การพัฒนาพื้นฐานของ California Algorithm

เนื่องจากทางพิเศษภูมิภาคเชียงใหม่จัดตั้งในปัจจุบัน ยังมีปริมาณจราจรไม่เต็มความจุของถนน ซึ่งในช่วงชั่วโมงเร่งด่วนจะมีปริมาณจราจรโดยเฉลี่ยประมาณ 1,000 ถึง 1,300 คันต่อช่องทางต่อชั่วโมงเท่านั้น การพัฒนาระบบทรจับอุบัติการณ์ภายใต้สภาพจราจรที่ติดขัด จึงมีข้อมูลค่อนข้างน้อย ในขั้นแรกผู้วิจัยได้รวบรวมข้อมูลอุบัติการณ์ที่มีผลกระทบต่อการจราจรสูง เช่น ภัยหลังการเกิดอุบัติการณ์แล้ว ส่งผลให้เกิดปัญหาจราจรติดขัดบนทางพิเศษ ซึ่งจะสามารถตรวจสอบได้จากข้อมูลสภาพจราจรที่เก็บได้จากกล้อง IDS โดยดูจากการเปลี่ยนแปลงของความเร็วและ Occupancy เป็นหลัก รูปที่ 12 (a) แสดงข้อมูลความเร็วตลอด 24 ชั่วโมง (b) ข้อมูล Occupancy ตลอด 24 ชั่วโมงที่เก็บได้จากกล้อง IDS หมายเลข 03A และ 04A และหมายเลข 05A และ 06A ณ วันที่ 26 มีนาคม 2555 ซึ่งจากการสามารถแปลผลได้ว่า เกิดอุบัติการณ์ขึ้นระหว่างสถานี 03A/04A และ 05A/06A



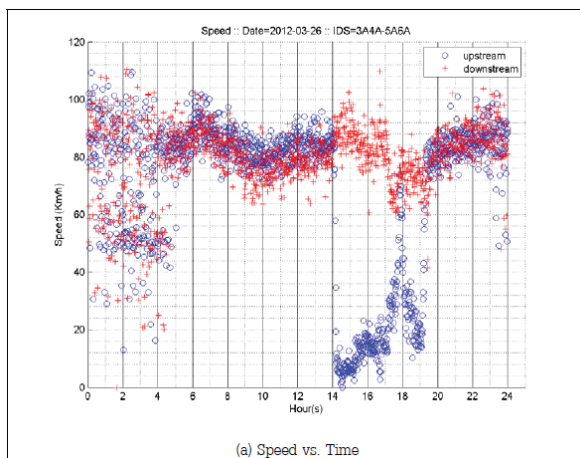
(a) Speed vs. Time Plot



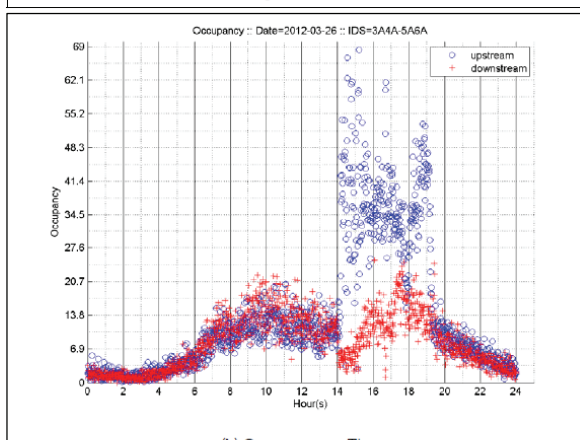
(b) Occupancy vs. Time plot

รูปที่ 12 ข้อมูลจราจรในรูปแบบ (a) Speed และ (b) Occupancy ของสถานี 03A/04A (Upstream) และสถานี 05A/06A(Downstream) ตลอด 24 ชั่วโมงของวันที่ 26 มีนาคม 2555

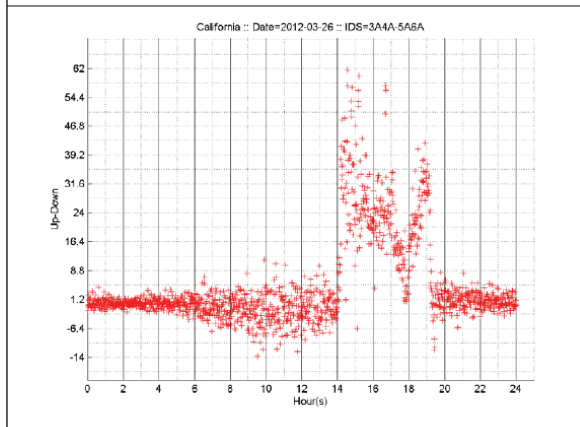
โดยอุบัติการณ์ดังกล่าวมีผลกระทบต่อการจราจรในช่วง 14:10 น. ถึง 19:20 น. โดยส่งผลให้ความเร็วเฉลี่ยทุก 1 นาที ณ Upstream Station ลดลงจากประมาณ 80 ถึง 90 กม. ต่อ ชม. เหลือเพียง 0 ถึง 10 กม. ต่อ ชม. และทำให้ความเร็วที่ Downstream Station เพิ่มขึ้นประมาณ 5 ถึง 10 กม. ต่อ ชม. นอกจากนี้ ยังทำให้ Occupancy ที่ Upstream Station เพิ่มขึ้นจากประมาณ 10 เปอร์เซ็นต์ เป็นประมาณ 30 ถึง 40 เปอร์เซ็นต์ในขณะที่ Occupancy ที่ Downstream Station ลดลงเหลือประมาณ 5 เปอร์เซ็นต์ ในช่วง แรกของการเกิดอุบัติเหตุ ซึ่งเมื่อตรวจสอบจากฐานข้อมูลอุบัติเหตุของ กทพ. พบว่า เป็นอุบัติเหตุรถลิกค์ว่า ณ ตำแหน่ง 9+700A ใช้ระยะเวลาในการเข้าถึง 10 นาทีและเวลาในการแก้ไข 20 นาที



(a) Speed vs. Time



(b) Occupancy vs. Time



(c) Upstream Occupancy - Downstream Occupancy

รูปที่ 13 ตัวอย่างข้อมูลสภาพจราจรในวันที่เกิดอุบัติการณ์บนช่วงทางพิเศษระหว่างสถานี 03A/04A และสถานี 05A/06A วันที่ 26 มีนาคม 2555 เกิดจราจารติดขัดจากอุบัติการณ์เวลา 14:10 น. ถึง 19.20 น.

เมื่อพิจารณากรณีที่เกิดอุบัติการณ์ระหว่างวันตั้งแต่รูปที่ 12 จนกว่า ความเร็วที่ Upstream Station ในรูปที่ 12 (a) ตกลงอย่างอย่างเห็นได้ชัดภายในระยะเวลาอันสั้น ในขณะที่ Downstream Station ยังมีความเร็วคงที่หรืออาจจะเพิ่มขึ้น อันเป็นสัญญาณบ่งชี้ว่า ได้เกิดอุบัติการณ์ขึ้นระหว่างสถานีทั้งสองรูปที่ 12 (b) และส่งให้เห็นถึงการเปลี่ยนแปลงไปในทางเดียวกับรูปแรก กล่าวคือ ค่า Occupancy ที่ Upstream Station ได้เพิ่มขึ้นอย่างรวดเร็วภายในระยะเวลาอันสั้น

ในขณะที่ Occupancy ของการจราจรที่ Downstream Station กลับลดลงอย่างเห็นได้ชัด

ดังนั้นเมื่อคำนวณค่าความแตกต่างของ Occupancy ที่ Upstream และ Downstream Stations ดังรูปที่ 13 (c) จะพบว่าค่าความแตกต่างได้เพิ่มขึ้นอย่างรวดเร็ว เมื่อคำนวณหาค่าสัดส่วนในรูปที่ 13 (d) และ รูปที่ 13 (e) จึงทำให้ California Algorithm แจ้งเตือนว่ามีอุบัติการณ์ระหว่างเวลาประมาณ 14:00 ถึง 19:30 น. ดังแสดงในรูปที่ 13 (f) เมื่อนำข้อมูลอุบัติการณ์และข้อมูลจราจรมาใช้สร้าง model ในการตรวจสอบอุบัติการณ์ โดยมี Objective function ในการ maximize CI และนั้น จะได้ผลของค่า Thresholds T1, T2, และ T3 ตามตารางที่ 2 ซึ่งจะพบว่าค่า Detection Rate จะอยู่ในช่วง 0 ถึง 100 เปอร์เซ็นต์ ค่า FAR อยู่ในช่วง 0 ถึง 0.09 เปอร์เซ็นต์ และค่า MTTD อยู่ในช่วง 2 นาที ถึง 48 นาที ค่า MTTD ที่ช่วงที่ 4 และ 5 มีค่าเท่ากับ 48 และ 31 นาทีตามลำดับ ซึ่งถือว่าใช้เวลาค่อนข้างนานมีผลมาจากการที่ California Algorithm สามารถตรวจจับอุบัติการณ์ได้เพียงช่วงละ 1 กรณีเท่านั้น ดังนั้นค่า MTTD จึงเป็นเพียงค่า TTD ที่วัดได้จากอุบัติการณ์ เพียงกรณีเดียวเท่านั้น และไม่ควรนำมาพิจารณาในการประเมิน Performance ของ California Algorithm หากตัดกรณีช่วงที่ 4 และ 5 ออกไปแล้ว จะพบว่า ค่า DR ส่วนใหญ่จะอยู่ในเกณฑ์ที่ค่อนข้างต่ำ ซึ่งอาจเป็นผลมาจากการที่ดำเนินการของสถานีตรวจจับสภาพจราจร อยู่ห่างกันค่อนข้างมาก ดังนั้นผู้วิจัยจึงได้นำข้อมูลสภาพจราจรและอุบัติการณ์ชุดเดียวกันนี้ไปพัฒนา McMaster Algorithm ในส่วนต่อไป

ในการตรวจสอบประสิทธิภาพของ Algorithm มักจะใช้ค่า Mean Time to Detect ใน การวัดความรวดเร็วในการตรวจสอบอุบัติการณ์ อย่างไรก็ตาม ข้อมูลอุบัติการณ์ที่เก็บได้บนทางพิเศษกานຍາกີເບຍກັງນີ້ น้อยอยู่ กการใช้ค่าเฉลี่ย (Mean) จึงไม่เหมาะสมกับลักษณะข้อมูลที่มีจำนวนน้อย ดังนั้นทางผู้วิจัยจึงเลือกใช้มัธยฐาน หรือ Median Time to Detect แทนค่า MTTD บนช่วงที่ 1 และ 3 ไม่สามารถคำนวณได้ เนื่องจาก California Algorithm ไม่สามารถ ตรวจจับอุบัติการณ์ได้

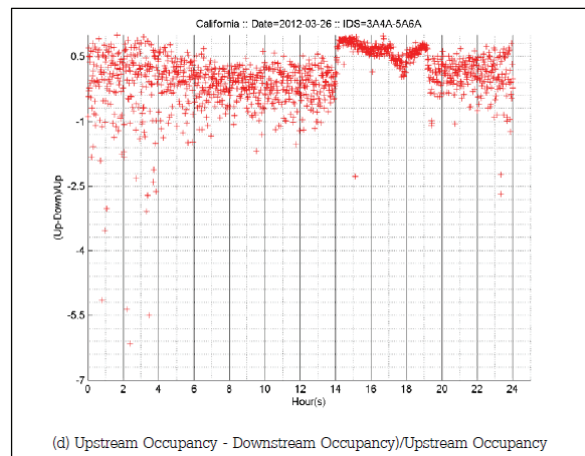
#### 4.3 การรวมด้วย Fuzzy weight

เนื่องจาก California Algorithm และ McMaster Algorithm มีจุดเด่น จุดด้อยต่างกัน ผู้วิจัยจึงนำผลลัพธ์ของทั้ง California Algorithm และ McMaster Algorithm มารวมกัน โดยใช้วิธี Weighted Fuzzy Logic โดยให้น้ำหนักของผลลัพธ์จาก California Algorithm และ McMaster Algorithm ต่างกันขึ้นอยู่กับสถานการณ์ สูตรการคำนวณจะเป็นดังนี้

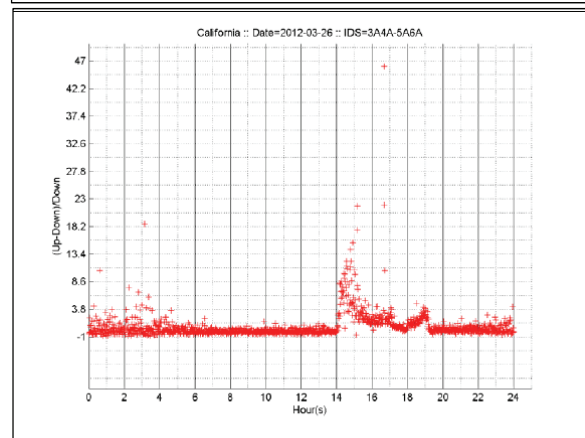
ให้  $w_1$  และ  $w_2$  เป็นน้ำหนัก (Weight) ของผลลัพธ์จาก California Algorithm (CA) และ McMaster Algorithm (MM) ตามลำดับ โดย  $w_1+w_2 = 1$  และ ค่า  $w_i >= 0$  ( $i = 1, 2$ ) ดังนั้น

$$WIL = (w_1 * CA) + (w_2 * MM) \text{ หรือ } WIL = w^1 * CA + w^2 * MM \quad (8)$$

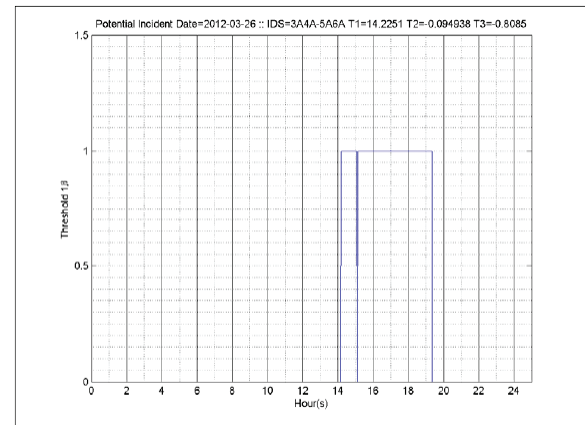
เมื่อคำนวณค่า WIL จากสมการดังกล่าวได้แล้วจึงนำมาเปรียบเทียบกับ Threshold ซึ่งเป็นค่าประจำของแต่ละช่วงทางพิเศษ เพื่อหาผลลัพธ์ของการตรวจจับ (Incident Decision)



(d) Upstream Occupancy - Downstream Occupancy)/Upstream Occupancy



(e) Upstream Occupancy - Downstream Occupancy)/Downstream Occupancy



(f) Incident Detection Result

รูปที่ 13 ตัวอย่างข้อมูลสภาพจราจรในวันที่เกิดอุบัติการณ์บนช่วงทางพิเศษระหว่างสถานี 03A/04A และสถานี 05A/06A วันที่ 26 มีนาคม 2555 เกิดจราจรติดขัดจากอุบัติการณ์เวลา 14:10 น. ถึง 19.20 น. (ต่อ)

เมื่อ  $WIL = \text{Weighted Incident Likelihood}$ , เป็นผลรวมความน่าจะเป็นของการเกิดอุบัติการณ์บนช่วงทางพิเศษช่วงหนึ่ง

$w_1$  = เป็นน้ำหนักของ CA

$w_2$  = เป็นน้ำหนักของ MM มีค่าเท่ากับ  $1-w_1$

CA = ความแตกต่างระหว่าง Relative Spatial Occupancy Difference กับสถานีต่อหน้า

MM = สัดส่วนกรณีที่ตรวจจับอุบัติการณ์จริงตาม Traffic State/จำนวนการตรวจจับอุบัติการณ์ของสภาพ Traffic State

ตารางที่ 2 สรุปค่า Thresholds (OCMAX และ VCRIT) และผลการวัด Performance (DR, FAR, MTTD) ของMcMaster Algorithm ที่ใช้บนทางพิเศษกาญจนภิเษกทั้ง 10 ช่วง

Link ID	US	DS	w1	w2	Threshold	No. of Real Incident Cases	DR	FAR	Median TTD
1	1A2A	3A4A	0	1	0.3	2	1	0	7
2	3A4A	5A6A	0	1	0.3	8	0.875	0.0102	15
3	5A6A	7A8A	0	1	0.05	1	1	0.0023	15
4	7A8A	9A10A	0	1	0.3	7	1	0.0013	9
4	7A8A	9A10A	0	1	0.3	7	1	0.0013	9
6	7B8B	5B6B	0	1	0.3	3	1	0.0008	16
7	5B6B	3B4B	0	1	0.3	2	1	0.0008	11
8	3B4B	1B2B	0.58	0.42	0.5	3	1	0.0002	13
9	9A10A	11A12A	0	1	0	2	1	0.0002	6.5
10	11B12B	9B10B	0.38	0.62	0.65	5	1	0.0002	8

#### 4.4 ผลการประเมินประสิทธิผลของ Algorithm

ทางผู้จัดได้ทำการเปรียบเทียบค่า Performance ของแต่ Algorithm บนทางพิเศษทั้ง 10 ช่วงในรูปที่ 14 ภาพพื้นหลังสุดของรูปที่ 14 (Results vs. Time) จะมีกราฟสีเส้นเรียงจากบนลงล่าง โดยมีรายละเอียดดังนี้

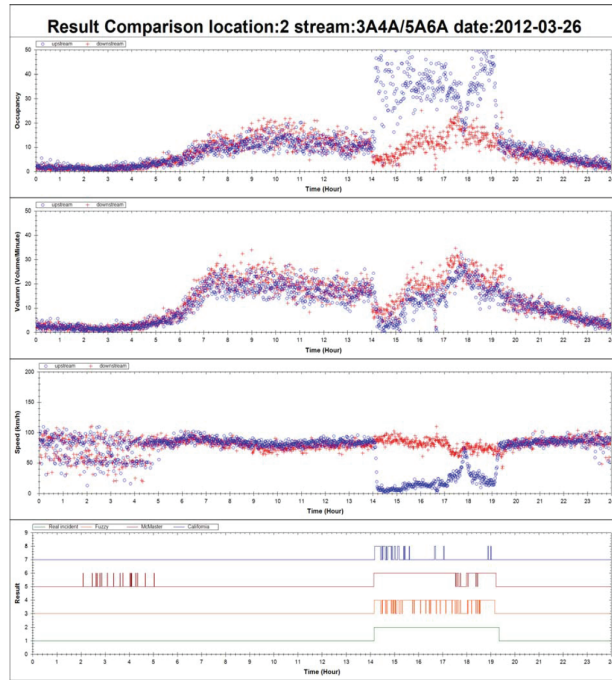
- กราฟเส้นสีน้ำเงิน แสดงถึงผลลัพธ์ของ California Algorithm มีค่า 7 (ไม่พบอุบัติการณ์) หรือ 8 (แจ้งเตือนอุบัติการณ์)
- กราฟเส้นสีน้ำตาล แสดงถึงผลลัพธ์ของ McMaster Algorithm มีค่า 5 (ไม่พบอุบัติการณ์) หรือ 6 (แจ้งเตือนอุบัติการณ์)
- กราฟเส้นสีเขียว แสดงถึงผลลัพธ์ของ Fuzzy Logic Algorithm มีค่า 3 (ไม่พบอุบัติการณ์) หรือ 4 (แจ้งเตือนอุบัติการณ์)
- กราฟเส้นสีเขียว แสดงถึงช่วงเวลาที่เกิดอุบัติการณ์จริง มีค่า 1 (ไม่มีอุบัติการณ์) หรือ 2 (มีอุบัติการณ์)

ภาพนี้แสดงให้เห็นว่า McMaster Algorithm จะมีความไวต่อการตรวจจับอุบัติการณ์กว่า California Algorithm

อย่างไรก็ตาม ในช่วง 2:00 - 5:00 น. McMaster Algorithm มีการแจ้ง False Alarm ซึ่งอาจเกิดจากการตรวจจับที่ผิดพลาดของอุปกรณ์ในช่วงที่แสงสว่างไม่เพียงพอ ส่วน Weighted Fuzzy Logic นั้นมีความไวในการตรวจจับเทียบเท่า McMaster Algorithm แต่สามารถกรอง False Alarm ในช่วงกลางคืนออกได้ ด้วยการพิจารณาถึงความเป็นไปได้ หรือ Likelihood ของอุบัติการณ์ ดังนั้น จึงสามารถสรุปได้ว่าการนำ Weighted Fuzzy Logic มาใช้ จะช่วยปรับปรุงประสิทธิภาพและประสิทธิผลของระบบตรวจจับอุบัติการณ์บนทางพิเศษแบบอัตโนมัติได้เป็นอย่างดี ถึงแม้ว่าตำแหน่งจุดติดตั้งอุปกรณ์จะห่างกันมากก็ตาม

#### 5. สรุปผลการศึกษา

สำหรับระบบตรวจจับอุบัติการณ์แบบ Traffic Parameter-based Algorithm นั้น จะมีประสิทธิผลและประสิทธิภาพที่ดี ในการณ์ที่มีปริมาณจราจรสูง เช่นช่วง AM Peak และ PM Peak และอุบัติการณ์นั้นก่อให้เกิดการจราจรติดขัด ซึ่งทางผู้จัดได้เก็บรวบรวมข้อมูลอุบัติการณ์ที่ทำให้เกิดการจราจรติดขัดได้ (Incident-Induced Congestion) ได้ทั้งสิ้น 36 ครั้ง บนทางพิเศษกาญจนภิเษกทั้งหมด



รูปที่ 14 การเปรียบเทียบผลการตรวจจับอุบัติการณ์ของ California Algorithm, McMaster Algorithm, และ Weighted Fuzzy Logic ในช่วงที่ 2 หรือระหว่างสถานีตรวจวัด 03A/04A และ 05A/06A

10 ช่วง ช่วงที่มีอุบัติการณ์มากที่สุด ได้แก่ ช่วงที่ 2 (Station 03A/04A - Station 05A/06A) มีอุบัติการณ์ทั้งสิ้น 8 ครั้ง ช่วงที่มีอุบัติการณ์แบบการจราจรติดขัดไม่เกิน 2 ครั้งภายในช่วงเวลาศึกษา 5 เดือน มี 4 ช่วงทางพิเศษด้วยกัน ได้แก่ ช่วงที่ 1 (2 ครั้ง), ช่วงที่ 3 (1 ครั้ง), 7 (2 ครั้ง), และช่วงที่ 9 (2 ครั้ง) เมื่อพิจารณาปริมาณจราจรเฉลี่ยต่อวันแล้ว จะอยู่ที่ไม่เกิน 1300 คันต่อชั่วโมงต่อช่องทาง ซึ่งต่ำกว่าความจุ (Capacity) ที่ 1,800-2,000 คันต่อชั่วโมงต่อช่องทาง จึงเป็นสาเหตุให้พบอุบัติการณ์แบบการจราจรติดขัดได้ค่อนข้างน้อย อย่างไรก็ตาม ถึงแม้ว่าจะมีข้อจำกัดของข้อมูลอุบัติการณ์ ทางผู้จัดจึงได้พัฒนาระบบตรวจจับอุบัติการณ์ในสภาพการจราจรแบบติดขัดไว้แบ่งเป็น 3 วิธี ได้แก่ California Algorithm, McMaster Algorithm และ Weighted Fuzzy Logic โดยทุกวิธีที่เสนอ จะถูกประเมินด้วย Objective Function เพื่อให้ได้ค่า DR ที่สูง, FAR ที่ต่ำ, และ Median TTD อยู่ในเกณฑ์ที่ยอมรับได้โดยทั่วไป จะกำหนดเกณฑ์ดังนี้ DR>=80%, FAR<=1%, TTD <= 5 นาที

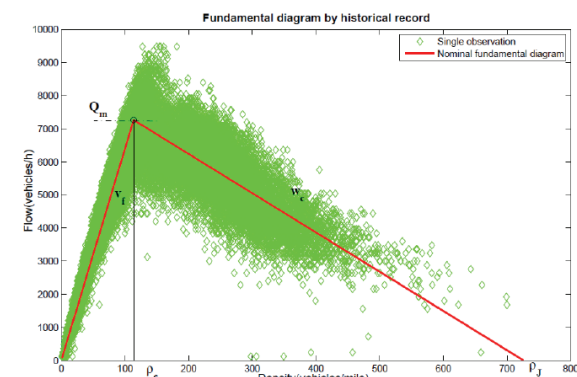
เมื่อทดสอบข้อมูลอุบัติการณ์ด้วย California Algorithm แล้วนั้น พบร่วงผลลัพธ์ที่ได้ยังไม่เป็นที่น่าพอใจมากโดยเฉพาะค่า DR ที่ค่อนข้างต่ำ ซึ่งอาจจะเกิดจากข้อมูลอุบัติการณ์ที่ยังมีน้อยและจุดตรวจจับสภาพจราจรต้องอยู่ห่างกันมาก ทำให้ California Algorithm ซึ่งต้องทำการเปรียบเทียบ Occupancy ที่ Upstream และ Downstream นั้น ไม่สามารถตรวจจับอุบัติการณ์ได้ดีเท่าที่ควร ค่า DR ที่ประเมินออกมาก่อนข้างต่ำ คืออยู่ระหว่าง 0 ถึง 33 เปอร์เซ็นต์ ซึ่งเกิดให้ค่า FAR ต่ำลงด้วย นอกจากนี้ Median TTD ยังสูงถึง 31 นาที และ 48 นาที ดังนั้น ทางผู้จัดจึงได้พัฒนา Algorithm ด้วยวิธีอื่นต่อไป เมื่อนำข้อมูลชุด

เดียวกันมาพัฒนา McMaster Algorithm เพื่อใช้ในการตรวจจับอุบัติการณ์แล้วพบว่า ได้ผลโดยรวมที่ดีกว่า California Algorithm โดยมีค่า DR เพิ่มขึ้นเป็น 80% - 100% แล้วแต่ช่วงทางพิเศษ ค่า FAR ก็ลดลงเหลือประมาณ 1.7% ส่วนค่า MTTD โดยรวมจะอยู่ในช่วง 8 - 15 นาที ซึ่งยังสูงกว่าค่าที่ยอมรับได้ทั่วไปอยู่ทางผู้วิจัยได้นำผลลัพธ์ของการตรวจจับจากทาง California Algorithm และ McMaster Algorithm มาเปรียบเทียบกัน พบว่า McMaster Algorithm จะให้ค่าที่มีความถูกต้องมากกว่า อย่างไร้ตาม ในบางสภาพจราจร California Algorithm จะมีความถูกต้องมากกว่า ดังนั้น ทางผู้วิจัยจึงได้นำเอาผลลัพธ์ของทั้งสองวิธีมาใช้ในการตรวจจับอุบัติการณ์ ซึ่งเป็นการรวมผลลัพธ์ด้วยการใช้ Weighted Fuzzy Logic หรือเป็นการให้น้ำหนักของผลลัพธ์จากทั้ง California Algorithm และ McMaster Algorithm ขึ้นอยู่กับความน่าเชื่อถือของผลลัพธ์ในแต่ละช่วงถนน หรือช่วงเวลา ซึ่งผลลัพธ์ที่ได้จาก Weighted Fuzzy Logic นั้น มีประสิทธิผลและประสิทธิภาพที่สูงกว่า California Algorithm หรือ McMaster Algorithm เพียงอย่างเดียว ดังจะเห็นได้จากตารางที่ 6-6 ซึ่งพบว่า DR นั้น มีค่า 100% บนทุกช่วงทางพิเศษ ยกเว้นช่วงที่ 2 ซึ่งมี DR เท่ากับ 87.5% ซึ่งสูงกว่าเกณฑ์มาตรฐานที่ 80% ค่า FAR นั้นลดลงเหลือประมาณ 0.1% ถึง 1 เปอร์เซ็นต์ และค่าMTTD เหลืออยู่ที่ประมาณ 11 นาทีจะเห็นได้ว่า ค่า DR และ FAR นั้นอยู่ในช่วงที่ยอมรับได้อย่างไร้ตามระยะเวลาในการตรวจจับ (MTTD) 10 นาทีนั้นยังเกินค่ามาตรฐานที่ 5 นาทีอยู่ ซึ่งเกิดจากข้อจำกัดของข้อมูล ได้แก่ ช่วงข้อมูลที่ใช้ในการเรียนรู้ค่า Occupancy และVolume นั้น ยังเป็น 1 นาทีอยู่ ตามที่เก็บได้ในช่วงเดือนกุมภาพันธ์ถึงพฤษภาคม 2555 ซึ่งในการใช้ McMaster Algorithm นั้น มากจะใช้ค่าเฉลี่ยทุก 20 ถึง 30 วินาที นอกเหนือนั้น จุดเก็บข้อมูลในปัจจุบัน ยังมีระยะที่ห่างมากอยู่ เฉลี่ยอยู่ที่ 5-6 กม. ต่อช่วง ในขณะที่ระยะห่างช่วงทางพิเศษที่ใช้ในการตรวจจับโดยทั่วไปอยู่ที่ 500-1000 ม. ดังนั้น หากทาง กทพ. ติดตั้งอุปกรณ์ตรวจจับสภาพจราจรได้ถูกต้องและตั้งค่าการรวมผลข้อมูลอยู่ทุก ๆ 20-30 วินาที จะช่วยเพิ่มประสิทธิภาพของ Weighted Fuzzy Logic ที่พัฒนาขึ้น และสามารถนำไปใช้ในการสนับสนุนเจ้าหน้าที่สื่อสารในการตรวจจับอุบัติการณ์บนทางพิเศษได้จริง

## 6. ข้อเสนอแนะ

องค์ประกอบที่สำคัญประการหนึ่งของระบบตรวจจับอุบัติการณ์อัตโนมัติคือ อุปกรณ์ตรวจจับสภาพจราจร (Sensor) ซึ่งจะเป็นอุปกรณ์ที่เก็บข้อมูลเพื่อป้อนเข้าสู่ระบบ ในส่วนนี้ ผู้วิจัยจะได้ให้เสนอแนะเกี่ยวกับระยะห่างที่เหมาะสมสำหรับการติดตั้งอุปกรณ์ตรวจจับสภาพจราจรในแนวที่จะช่วยลดเวลาในการตรวจจับอุบัติการณ์ ซึ่งข้อพิจารณาสำคัญจะเกี่ยวข้องกับช่วงระยะความยาวและความแออัดของรถบรรทุก กล่าวคือ ระยะห่างระหว่าง Sensor ควรมีระยะทางเหมาะสมให้ Sensor สามารถตรวจจับสภาพความเป็นไปของรถบรรทุกได้ในช่วงระยะเล็กที่กำหนด ซึ่งในระบบตรวจจับอุบัติการณ์อัตโนมัติที่ผู้วิจัยได้ทำการพัฒนาขึ้นนี้มีการตั้งค่า Detection Time เท่ากับ 1 นาที และในระบบจะต้องมีการรอตรวจสอบข้อมูล 2 ครั้ง ซึ่งคิดเป็นระยะเวลาต่อรอบทั้งหมดเท่ากับประมาณ 2 นาที ดังนั้นช่วงระยะเวลาที่ต้องจับของ Sensor คือควรเกินกว่า 2 นาที เช่นกันในการคิดความเร็วของระยะและจราจรเพื่อหาระยะที่เหมาะสมสำหรับการติดตั้ง Sensor นั้น จะคิดจากกรณีที่อุบัติการณ์เกิดในสภาพจราจรติดขัด (Congested) ซึ่งความเร็วของการเพิ่มขึ้นของแออัด (Backward Wave Speed) สามารถประมาณได้จากการวิจัยที่

ผ่านมา ดังแสดงในรูปที่ 15 ซึ่งแสดงความสัมพันธ์อัตราการไหล และความหนาแน่นจราจรพื้นฐานในรูปที่ 15 ในช่วงสายทางหลัก (Main Line) พบว่า Backward Wave Speed (ค่าความชันของกราฟหลังจุดความจุสูงสุด,  $W_c$ ) จะมีค่าที่ประมาณ 20 กิโลเมตรต่อชั่วโมง (ประมาณ 300 เมตรต่อนาที) และในสภาพการณ์อุบัติการณ์พบว่า Capacity ของถนนจะลดลงประมาณ 2 ใน 3 ซึ่งผลให้ความเร็วเพิ่มขึ้นประมาณร้อยละ 30 ดังนั้น Backward Wave Speed จะมีค่าประมาณ 40 กิโลเมตรต่อชั่วโมง ซึ่งคิดเป็นระยะทางประมาณ 1,500 เมตร ในช่วงระยะเวลา 2 นาที ของรอบการตรวจจับอุบัติการณ์ จึงกล่าวได้ว่า ในช่วงสายทางหลักของทางพิเศษ ระยะห่างการติดตั้ง Sensor ที่มีความเหมาะสมในแนวที่จะช่วยให้การพัฒนาระบบตรวจจับอุบัติการณ์มีความสมบูรณ์ กทพ. จะพัฒนาระบบการตรวจจับอุบัติการณ์ภายใต้สภาพจราจรคล่องตัวเพื่อให้ครอบคลุมลักษณะการจราจรทุกรูปแบบที่อาจเกิดขึ้นบนทางพิเศษ และในอนาคตจะพัฒนาระบบการตรวจจับอุบัติการณ์ทั้งภายนอกสภาพจราจรหนาแน่น และภายนอกสภาพจราจรคล่องตัวให้เป็นรูปแบบ online simulation ต่อไป



รูปที่ 15 ความสัมพันธ์อัตราการไหล และความหนาแน่นจราจรพื้นฐาน

## เอกสารอ้างอิง

- [1] Payne, H.J. and Tignor, S.C. (1978). "Freeway incident-detection algorithms based on decision trees with states." Transportation Research Record, No. 682, TRB, National Research Council, pp.30-37.
- [2] Parkany, E. and Xie, C. (2005). "A Complete Review of Incident Detection Algorithms & Their Deployment: What Works and What Doesn't" University of Massachusetts Transportation Center, February, 2005
- [3] Martin, P. T., J. Perrin, et al. (2001). Incident Detection Algorithm Evaluation, University of Utah.
- [4] Balke, K.N. (1993). "An evaluation of existing incident detection algorithms." Research Report, FHWA/TX- 3/1232-20, Texas Transportation Institute, the Texas A&M University System, College Station, TX, November 1993.
- [5] Forbes, G.J. and Hall, F.L. (1990). "The applicability of Catastrophe theory in modeling freeway traffic operations." Transportation Research Part A, Vol. 24, No. 5, pp. 335-344.
- [6] Forbes, G.J. (1992). "Identifying incident congestion." ITE Journal, Vol. 62, No. 6, ITE, pp. 17-22.

- [7] [http://www.civ.utoronto.ca/sect/traeng/its/downloads/delete/mcmaster\\_incident\\_detection\\_algorithm.pdf](http://www.civ.utoronto.ca/sect/traeng/its/downloads/delete/mcmaster_incident_detection_algorithm.pdf)
- [8] Chang, E.C.-P. and Wang, S.-H. (1994). "Improved freeway incident detection using fuzzy set theory." *Transportation Research Record*, No. 1453, TRB, National Research Council, pp. 75-82.
- [9] Stephanedes, Y.J., Chassiakos, A.P. and Michalopoulos, P.G. (1992). "Comparative performance evaluation of incident detection algorithms." *Transportation Research Record*, No.1360, TRB, National Research Council, pp. 50-57.
- [10] Ritchie, S.G. and Cheu, R.L. (1993). "Simulation of freeway incident detection using artificial neural networks." *Transportation Research Part C*, Vol. 1, No. 3, pp. 203-217.
- [11] Hsiao, C.-H., Lin, C.-T. and Cassidy, M. (1994). "Application of fuzzy logic and neural networks to automatically detect freeway traffic incidents." *Journal of Transportation Engineering*, Vol. 120, No. 5, ASCE, pp. 753-772.